

การถ่ายเทความร้อนของเจ็ทแบบสมมาตรตามแกนที่ตอกกระบบพื้นผิวรอยบุ๋ม

Heat transfer of an axisymmetric impinging jet on a dimpled surface

จักรพันธ์ ถาวรงานยิ่งสกุล¹ และ กุลยา กานกจารุวิจิตร^{1*}

¹ภาควิชาวิศวกรรมเครื่องกล คณะวิศวกรรมศาสตร์ มหาวิทยาลัยเรศอร อ.เมือง จ.พิษณุโลก 65000

โทร 0-5526-1000 ต่อ 4230 โทรสาร 0-5526-1062 *อีเมล์ koonlayak@nu.ac.th

Chakkraphan Thawonngamyingsakul¹ and Koonlaya Kanokjaruvijit^{1*}

¹Department of Mechanical Engineering, Faculty of Engineering, Naresuan University,
Phitsanulok 65000, Thailand. Tel: 0-5526-1000 ext 4230 Fax: 0-5526-1062 *E-mail: koonlayak@nu.ac.th

บทคัดย่อ

งานวิจัยนี้เป็นการประยุกต์ใช้กระบวนการทางไฟฟ้าโนนิเตอร์เฟลิเมนต์ (Finite Element) ในการหาผลเฉลยของระบบสมการนาเวีย-สโตกส์แบบอัตตัวไม่ได้ (Incompressible Navier-Stokes Equation System) จากการจำลองเจ็ทแบบราบเรียบ (Laminar Jet) แบบสมมาตรตามแกน 2 มิติ ตอกกระบบลงบนพื้นผิวรอยบุ๋ม เพื่อศึกษาการถ่ายเทความร้อนของแผ่นเป้าหมาย ในรูปของค่านัสเซินนัมเบอร์เฉพาะที่ (Local Nusselt Number) และค่านัสเซินนัมเบอร์เฉลี่ย (Average Nusselt Number) โดยศึกษาผลกระทบของ ตัวเลขเรย์โนล์ด์ (Reynolds Number) ในช่วง 400 ถึง 1200 ระยะห่างจากเจ็ทถึงแผ่นเป้าหมาย (H/D_j) ในช่วง 2 ถึง 8 เท่าของเส้นผ่านศูนย์กลางของเจ็ท ความลึกของรอยบุ๋ม (d/D_d) ในช่วง 0.1 ถึง 0.2 เท่าของเส้นผ่านศูนย์กลางของเจ็ท ความลึกของรอยบุ๋ม และ อัตราส่วนระหว่างเส้นผ่านศูนย์กลางของเจ็ทต่อเส้นผ่านศูนย์กลาง ตามภาพฉายของรอยบุ๋ม (D_j/D_d) ในช่วง 0.25 ถึง 1 จากการศึกษาพบว่า การถ่ายเทความร้อนของแผ่นรอยบุ๋มจะมีค่าเพิ่มขึ้นเมื่อ (1) ตัวเลขเรย์โนล์ด์ (Re) เพิ่มขึ้น (2) ความลึกของรอยบุ๋ม (d/D_d) มีค่าลดลง และ/หรือ (3) ตำแหน่งของรอยบุ๋มอยู่ไกลจากเจ็ทที่ตอกกระบบ สำหรับระยะห่างจากเจ็ทถึงแผ่นเป้าหมาย (H/D_j) มีผลน้อยมากต่อการถ่ายเทความร้อนสำหรับเจ็ทแบบราบเรียบ นอกจากนี้จากการเปรียบเทียบผลการถ่ายเทความร้อนของแผ่นรอยบุ๋มกับแผ่นเรียบ พบว่า การถ่ายเทความร้อนของแผ่นรอยบุ๋มต่ำกว่าแผ่นเรียบ เนื่องจากแผ่นรอยบุ๋มมีพื้นที่สัมผัสน้อยกว่าและมากกว่าแผ่นเรียบ เป็นเหตุให้เกิดการถ่ายเทโมเมนตัมฟลักซ์น้อยกว่า

คำสำคัญ : เจ็ท, รอยบุ๋ม, สมการนาเวีย-สโตกส์, การถ่ายเทความร้อน

Abstract

This study is to examine heat transfer of a 2D axisymmetric impinging jet on a dimpled plate by using finite element with Navier-Stokes equation system. The results are presented in

terms of local Nusselt numbers and average Nusselt numbers. The tested parameters are Reynolds number (Re) ranging from 400 to 1200, jet-to-plate spacing (H/D_j) ranging from 2 to 8 jet diameters, dimple depth (d/D_d) ranging from 0.1 to 0.2 dimple diameters and ratio of jet diameter to dimple diameter (D_j/D_d) ranging from 0.25 to 1. The heat transfer augmentation is found when (1) Reynolds number is increased (2) dimple depth is decreased and/or (3) dimple edge is far from impingement zone. However, the jet-to-plate spacing did not affect the heat transfer of the laminar jet. Additionally, the comparison of the heat transfer of a dimpled plate to a flat plate, which is used as a baseline case, shows that the dimple leads to heat transfer reduction due to its additional wetted area.

Keywords: Jet Impingement, Dimple, Navier-Stokes Equation, Heat Transfer

1. บทนำ

สำหรับปัจจุบันการถ่ายเทความร้อนนั้นถือได้ว่ามีความสำคัญอย่างมากต่องานอุตสาหกรรม การให้หลังของเจ็ทไปตอกกระบบลงบนแผ่นเป้าหมาย (Jet Impingement) เป็นวิธีการถ่ายเทความร้อนรูปแบบหนึ่งที่มีประสิทธิภาพสูง และเป็นที่แพร่หลายในอุตสาหกรรมต่างๆ เช่น อุตสาหกรรมหลอมโลหะ อุตสาหกรรมก๊าซเทอร์บิน เป็นต้น ซึ่งการให้หลังของเจ็ทไปตอกกระบบลงบนแผ่นเป้าหมาย ได้มีการศึกษาข้อดีข้อเสียของเจ็ทที่ตอกกระบบลงบนแผ่นเป้าหมาย โดยรูปแบบการศึกษามีลักษณะที่แตกต่างกันออกไป แต่สิ่งสำคัญของการศึกษาเพื่อพัฒนาความสามารถในการถ่ายเทความร้อนของแผ่นเป้าหมายให้มีค่าสูงสุดหรือที่สุด Gardon และ Akfirat [1] ศึกษาผลของระยะห่างระหว่างหัวฉีดกับแผ่นเป้าหมาย (Jet-to-Plate Spacing) ต่อการถ่ายเทความร้อน นอกจากนี้ Obot และ Trabold [2] ได้ทำการทดลอง เพื่อศึกษาผลกระทบของ Crossflow scheme ที่มีผล

ต่อการถ่ายเทความร้อน ที่เกิดจากการตัดกระบวนการของกลุ่มเจ็ทอากาศ (Air Jet Array) ลงบนพื้นผิวเรียบ

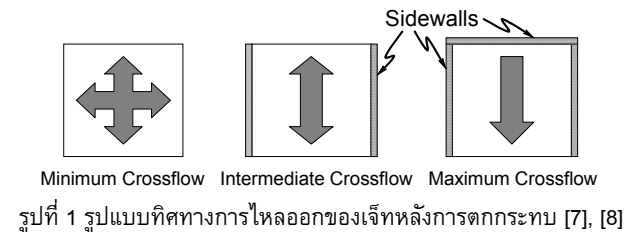
พื้นผิวเรียบเป็นที่รู้จักอย่างดีบนลูกกอล์ฟ ซึ่งจากการศึกษาของ Bearman และ Harvey [3] พบว่าอยู่ในบันลูกกอล์ฟมีคุณลักษณะช่วยลดแรงลาก (Drag Force) เพิ่มแรงยก (Lift Force) นอกจากนี้ยังมีการศึกษาการใช้พื้นผิวเรียบมุ่งกับการไหลในแนวต้าน พบร่วมอยู่มุ่งช่วยเพิ่มการถ่ายเทความร้อนเป็น 1.5 - 2.1 เท่าของการถ่ายเทความร้อนของพื้นผิวเรียบ [4], [5] และ [6]

Kanokjaruvijit และ Martinez-Botas [7], [8] ทำการทดลองเพื่อศึกษาการถ่ายเทความร้อนของการตัดกระบวนการของกลุ่มเจ็ทอากาศ (Air Jet Array) ลงบนพื้นผิวกลุ่มเรียบมุ่ง โดยพิจารณาผลกระบวนการต่างๆ ได้แก่ ทิศทางการไหลของเจ็ทหลังการตัดกระบวนการ (Crossflow Scheme) ดังแสดงในรูปที่ 1 ตัวเลขเรย์โนลต์ (Re) ระยะระหว่างเจ็ทกับแผ่นเป้าหมาย (H/D_j) ความลึกของรอยบุ๋ม (d/D_d) และขนาดของรอยบุ๋ม เปรียบเทียบกับขนาดของเจ็ท (D_j/D_d) พบว่าการบังคับการไหลของเจ็ทหลังการตัดกระบวนการให้มีปริมาณมาก (Maximum Crossflow) เป็นการเสริมการทำงานของรอยบุ๋ม ส่งผลให้การถ่ายเทความร้อนของแผ่นเรียบมุ่งสูงกว่าแผ่นเรียบ 68 % (ที่ค่า $Re = 11500$, $H/D_j = 8$, $d/D_d = 0.29$, $D_j/D_d = 0.577$) จักรพันธ์ ภาร่างยิ่งสกุล และ กุลยา กานกจารุวิจิตร [9] ทำการศึกษาถึงลักษณะการไหลของเจ็ทแบบราบเรียบ แบบสมมาตร ตามแกน 2 มิติ ตัดกระบวนการพื้นผิวเรียบมุ่ง

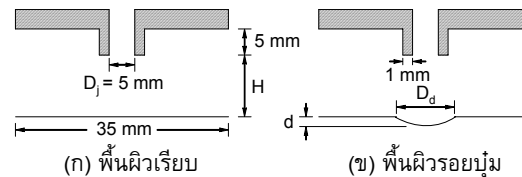
จุดประสงค์ของงานวิจัยนี้ เพื่อศึกษาการถ่ายเทความร้อนที่เกิดจากการตัดกระบวนการของเจ็ทแบบราบเรียบ 2 มิติสมมาตรตามแกนลงบนพื้นผิวเรียบมุ่ง หลังตัดกระบวนการจะสามารถสูบระบายอากาศได้โดยอิสระ ด้วยการใช้กระบวนการทางไฟฟ้าในต์โอลิเมเนต์ โดยอาศัยซอฟต์แวร์เชิงพาณิชย์ COMSOL 3.3 ในการหาผลเฉลยของระบบสมการนาวี-สโตกส์แบบอัดตัวไม่ได้ โดยพิจารณาการตัดกระบวนการของเจ็ทลงบนพื้นผิวเรียบ ซึ่งผลการถ่ายเทความร้อนและการไหลจะนำมาเปรียบเทียบกับผลของเจ็ทกระบวนการลงบนรอยบุ๋ม นอกจากนี้ยังได้ศึกษาผลกระบวนการต่างๆ ได้แก่ ตัวเลขเรย์โนลต์ (Re) ในช่วง 400 ถึง 1200 ระยะห่างจากหัวฉีดไปยังแผ่นเป้าหมาย (H/D_j) ในช่วง 2 ถึง 8 เท่าของเส้นผ่านศูนย์กลางของเจ็ท ความลึกของรอยบุ๋ม (d/D_d) ในช่วง 0.1 ถึง 0.2 และอัตราส่วนระหว่างเส้นผ่านศูนย์กลางของเจ็ทต่อเส้นผ่านศูนย์กลางตามภาพจายของรอยบุ๋ม (D_j/D_d) ในช่วง 0.25 ถึง 1

2. พารามิเตอร์ที่ศึกษา

พารามิเตอร์ที่พิจารณาในการศึกษาแสดงดังรูปที่ 2 โดยกำหนดเส้นผ่านศูนย์กลางหัวฉีด (D_j) เท่ากับ 5 mm เส้นผ่านศูนย์กลางของแผ่นเป้าหมายเท่ากับ 35 mm ความหนาของหัวฉีดเท่ากับ 1 mm ฟลักซ์ความร้อน (Heat Flux) ของแผ่นเป้าหมายมีค่าคงที่เท่ากับ 500 W/m² คุณสมบัติเชิงความร้อนของเจ็ทอากาศวัดที่อุณหภูมิ 303 K ได้แก่ ความหนาแน่น (ρ) 1.165 kg/m³ ความหนืดพลวัต (μ) 1.864x10⁻⁵ kg/(m.s) ความจุความร้อนจำเพาะ (c_p) 1005 J/(kg.K) สัมประสิทธิ์การนำความร้อน (k) 0.02637 W/(m.K) ตัวเลขเรย์โนลต์นิยามจาก $Re = \rho U D_j / \mu$ โดยที่ U คือความเร็วเฉลี่ยที่ดำเนินทางออกของหัวฉีด



รูปที่ 1 รูปแบบทิศทางการไหลออกของเจ็ทหลังการตัดกระบวนการ [7], [8]



รูปที่ 2 พารามิเตอร์ต่างๆ ที่เกี่ยวข้อง

3. สมการที่เกี่ยวข้อง (Governing Equations)

สมการควบคุมปัญหาการไหลแบบราบเรียบ (Laminar Flow) และปัญหาการถ่ายเทความร้อน ประกอบด้วย สมการความต่อเนื่อง สมการนาวี-สโตกส์หรือสมการอนุรักษ์โมเมนตัม และสมการอนุรักษ์พลังงาน ดังแสดงในสมการ (1), (2) และ (3) ตามลำดับ โดยมีสมมติฐาน ได้แก่ พิจารณาที่สภาวะคงตัว การไหลเป็นแบบอัดตัวไม่ได้ คุณสมบัติของไหลมีค่าคงที่ และของไหลเป็นแบบนิวตัน (Newtonian Fluid)

$$\frac{1}{r} \frac{\partial(r u_r)}{\partial r} + \frac{\partial u_z}{\partial z} = 0 \quad (1)$$

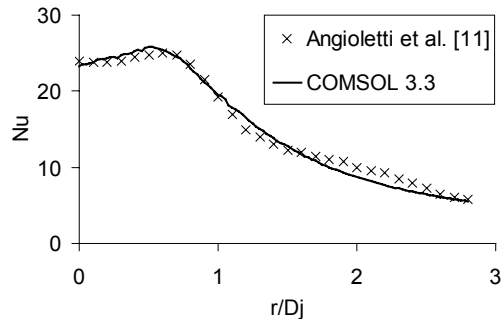
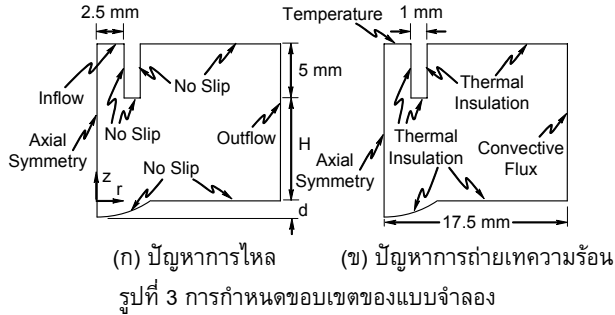
$$\text{แกน } r : u_r \frac{\partial u_r}{\partial r} + u_z \frac{\partial u_r}{\partial z} = -\frac{1}{\rho} \left(\frac{\partial p}{\partial r} \right) + \frac{\mu}{\rho} \left(\nabla^2 u_r - \frac{u_r}{r^2} \right) \quad (2.1)$$

$$\text{แกน } z : u_r \frac{\partial u_z}{\partial r} + u_z \frac{\partial u_z}{\partial z} = -\frac{1}{\rho} \left(\frac{\partial p}{\partial z} \right) + \frac{\mu}{\rho} (\nabla^2 u_z) \quad (2.2)$$

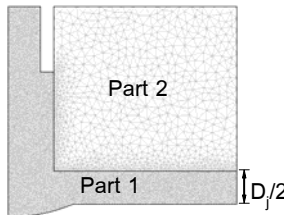
$$\rho c_p \left(u_r \frac{\partial T}{\partial r} + u_z \frac{\partial T}{\partial z} \right) - k \left(\frac{\partial^2 T}{\partial r^2} + \frac{\partial^2 T}{\partial z^2} \right) = Q \quad (3)$$

4. การคำนวณเชิงตัวเลข

การหาค่าตอบเชิงตัวเลขของสมการ (1) ถึง (3) อาศัยกระบวนการทางไฟฟ้าในต์โอลิเมเนต์ ด้วยซอฟต์แวร์เชิงพาณิชย์ COMSOL 3.3 ซึ่งใช้วิธีการแก้ปัญหาแบบ Direct (UMFPACK) โดยค่า Relative Tolerance เท่ากับ 1.0×10^{-6} ซึ่งเป็นวิธีการแก้ปัญหาที่เหมาะสมในการหาผลเฉลยของระบบสมการนาวี-สโตกส์แบบอัดตัวไม่ได้ ที่สภาวะการไหลแบบคงตัว [10] การศึกษาจะจำลองการไหลของเจ็ทแบบสมมาตรตามแกน 2 มิติ และกำหนดขอบเขตของแบบจำลองดังรูปที่ 3 จากนั้นแบ่งโดเมนการคำนวณออกเป็น 2 ส่วน โดยส่วนที่ 1 จะครอบคลุมชั้นขอบเขตของของไหล และส่วนที่ 2 ครอบคลุมบริเวณอากาศแวดล้อมนอกชั้นขอบเขตของของไหล รูปที่ 4 แสดงการสร้างกริดแบบสามเหลี่ยมเรียบ โดยส่วนที่ 1 มีความหนาแน่นของกริด 107.12 กริด/m² และส่วนที่ 2 ความหนาแน่นของกริดเท่ากับ 9.68 กริด/m² ทั้งนี้เพื่อให้การคำนวณของคอมพิวเตอร์ลู่เข้าค่าๆ หนึ่ง (Convergence) และประหนัยด้วย ความจำและเวลาในการคำนวณ



รูปที่ 5 การเปรียบเทียบค่า Nu เมื่อ $\text{Re} = 1000$, $H/D_j = 4.5$



รูปที่ 4 การแบ่งโดเมนการคำนวณออกเป็น 2 ส่วน และการสร้างกริดที่มีรายละเอียดเท่าๆ กันในทั้ง 2 โดเมน

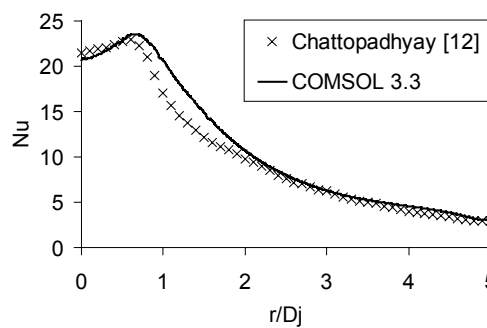
5. ผลการคำนวณและการอธิบายผล

5.1 การเปรียบเทียบถ่ายเทความร้อนจากการศึกษา กับผลการทดลอง (Validation)

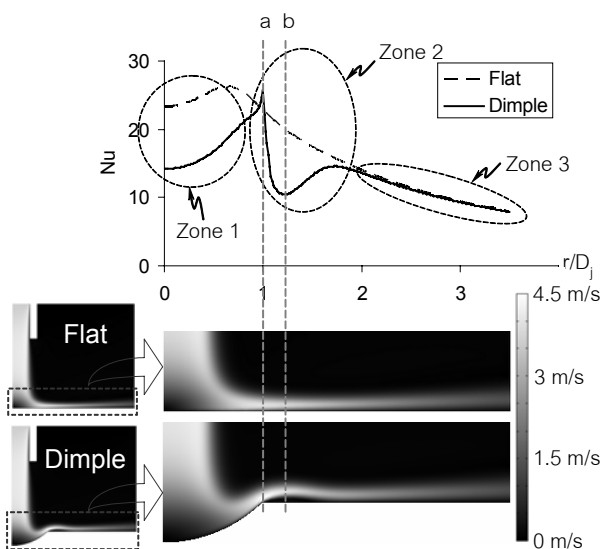
การเปรียบเทียบถ่ายเทความร้อนของแผ่นเป้าหมาย ในรูป ของค่าน้ำซึ่ลั่นเบอร์เจพาที่ จากการใช้กระบวนการทางไฟฟ้าเน็ตเวิร์ก ของ COMSOL 3.3 กับผลการทดลองของ Angioletti และคณะ [11] และ Chattopadhyay [12] แสดงดังรูปที่ 5 และ 6 ตามลำดับ พบว่ามีแนวโน้มไปในทิศทางเดียวกัน โดยค่าความแตกต่างจากการศึกษากับการทดลองของ Angioletti และคณะ [11] มีค่า 1.0443% และ 9.4928% สำหรับการทดลองของ Chattopadhyay [12]

5.2 การเปรียบเทียบผลของการตอกกระบทพื้นผิวเรียบและพื้นผิวรอยนูน

เมื่อพิจารณาการถ่ายเทความร้อนสำหรับการตอกกระบทองเจ็ท ลงบนแผ่นเรียบและแผ่นรอยนูน ในรูปของค่าน้ำซึ่ลั่นเบอร์เจพาที่ (Nu) จากรูปที่ 7 พบว่า บริเวณดักกระทน (บริเวณที่ 1) การถ่ายเทความร้อนของแผ่นเรียบมีค่ามากกว่าแผ่นรอยนูน เนื่องจากพื้นผิวที่สัมผัสของไอล (Wetted Area) ของแผ่นเรียบมีค่าน้อยกว่าแผ่นรอยนูน ส่งผลให้ไม่มีตัวพลาซึ่งสำหรับแผ่นเรียบมีค่าสูงกว่า สำหรับที่ต่ำแห่งขอบรอยนูน (หน้าตัด a) การถ่ายเทความร้อนของแผ่นรอยนูนจะมีค่าสูงกว่าแผ่นเรียบเนื่องจากมีความเร็วสูงกว่า ฉะนั้น การถ่ายเทความร้อนของแผ่นรอยนูนจะลดลงอย่างรวดเร็ว เนื่องจากเกิดการยักตัวของสนามการไอล ส่งผลให้เกิดการไอลย้อนกลับ (Back Flow) และดังรูปที่ 8 ทำให้เกิดการแยกตัวของชั้นของเขตการไอล (Boundary Layer Separation) ออกจากผิวเรียบที่อยู่ด้านหลังของรอยนูน สำหรับบริเวณที่ 3 การถ่ายเทความร้อนจะมีไอลเคียงกัน เนื่องจากสนามการไอลของทั้งสองพื้นผิวไอลแนวไปกับพื้นผิวเหมือนกัน และความเร็วมีค่าใกล้เคียงกัน

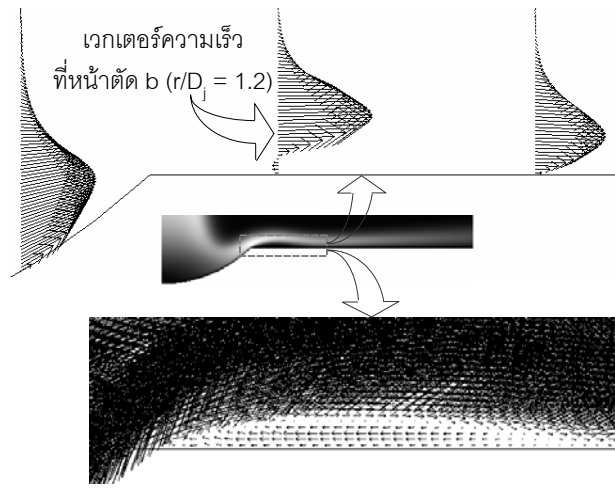


รูปที่ 6 ค่าน้ำซึ่ลั่นเบอร์เจพาที่กับผลการทดลองของ Chattopadhyay [12] ที่ค่า $\text{Re} = 1000$, $H/D_j = 2$



รูปที่ 7 ค่าน้ำซึ่ลั่นเบอร์เจพาที่และสนามการไอล ที่ค่า $\text{Re} = 1200$, $H/D_j = 2$, $d/D_d = 0.2$, $D_j/D_d = 0.5$

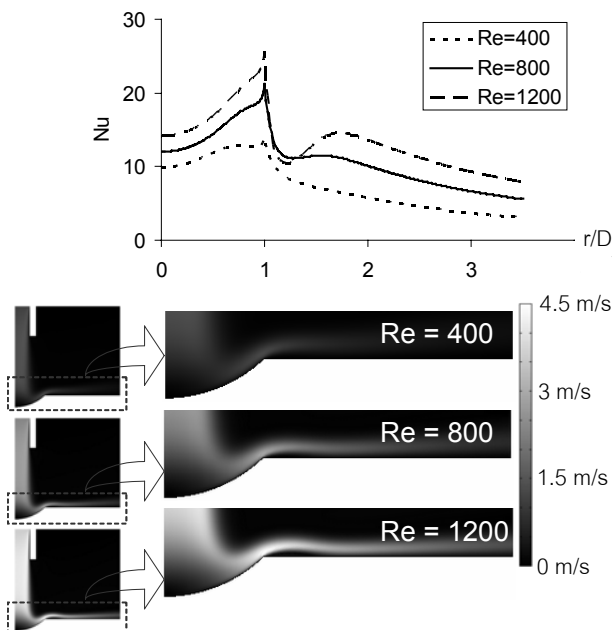
สำหรับการถ่ายเทความร้อนเฉลี่ย ในรูปของค่าน้ำซึ่ลั่นเบอร์เจพาที่ที่เกิดจากการตอกกระบทองเจ็ทลงบนแผ่นเรียบมีค่า 16.6586 ส่วนแผ่นรอยนูนมีค่า 15.4247



รูปที่ 8 เวกเตอร์ความเร็วบริเวณการยกตัวของสนา�การไหล
ที่ค่า $Re = 1200$, $H/D_j = 2$, $d/D_d = 0.2$, $D_j/D_d = 0.5$

5.3 ผลกระทบของตัวเลขเรย์โนลด์ (Re)

รูปที่ 9 แสดงผลกระทบของ Re ที่มีต่อการถ่ายเทความร้อนของแผ่นรอยนุ่ม พบว่า ที่ค่า $Re = 1200$ เกิดการถ่ายเทความร้อนสูงที่สุดตามมาด้วย $Re = 800$ และ $Re = 400$ ทั้งนี้เนื่องจากเมื่อค่า Re สูงขึ้น ไม่มีเม็ดดินของเจ็ทสำหรับการตอกกระบที่ค่าสูงขึ้น สังเกตได้จากการเพิ่มขึ้นของความเร็วเมื่อค่า Re สูงขึ้น สำหรับค่าน้ำสเซลลั่นเบอร์นี่ลี่เมื่อค่าเพิ่มขึ้นเมื่อค่า Re เพิ่มขึ้น เช่นกัน โดยที่ค่า $Re = 400$, 800 และ 1200 ให้ค่าน้ำสเซลลั่นเบอร์นี่ลี่ 7.2909 , 10.7526 และ 13.0669 ตามลำดับ



รูปที่ 9 ค่าน้ำสเซลลั่นเบอร์นี่ลี่ที่และสนา�การไหล

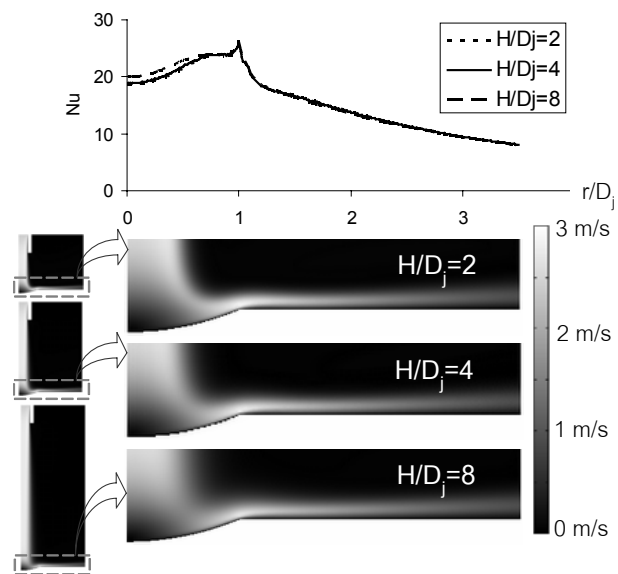
ที่ค่า $H/D_j = 2$, $d/D_d = 0.2$, $D_j/D_d = 0.5$

5.4 ผลกระทบของระยะห่างจากหัวฉีดไปยังแผ่นเป้าหมาย (H/D_j)

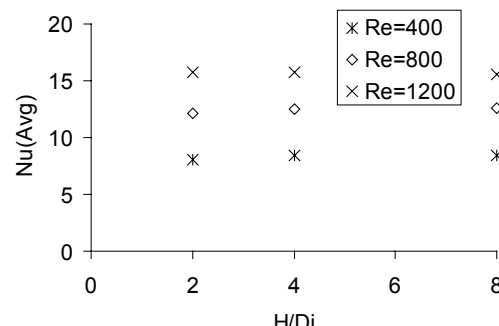
รูปที่ 10 แสดงผลกระทบของค่า H/D_j ที่มีต่อการถ่ายเทความร้อนของแผ่นรอยนุ่ม พบว่าการถ่ายเทความร้อนมีค่าใกล้เคียงกันทั้งสามค่า เนื่องจากการถ่ายเทโมเมนตัมของเจ็ทที่กำลังตกลงมากับอากาศแวดล้อม (Ambient) มีค่าน้อยมาก ส่งผลให้ไม่มีเม็ดดินของเจ็ทที่ตอกกระบที่ค่า H/D_j ไม่แตกต่างกัน สังเกตจากสนามการไหลและแบบจำลองน้ำที่ค่า H/D_j ที่ H/D_j ค่าต่างๆ มีค่าใกล้เคียงกัน แสดงดังรูปที่ 11

5.5 ผลกระทบของความลึกของรอยนุ่ม (d/D_d)

การถ่ายเทความร้อนจากการตอกกระบทของเจ็ทลงบนแผ่นรอยนุ่มที่ความลึกของรอยนุ่ม d/D_d ที่ค่า 0.1 , 0.15 และ 0.2 แสดงดังรูปที่ 12 พบว่า ที่บีเวณที่ 1 การถ่ายเทความร้อนจากการตอกกระบทลงบนแผ่นรอยนุ่ม $d/D_d = 0.2$ มีค่าต่ำสุด และมีค่าเพิ่มขึ้นเมื่อค่า d/D_d ลดลง เนื่องจากเจ็ทที่ตอกกระบทลงบนแผ่นรอยนุ่มที่ลึกกว่า มีพื้นที่สัมผัสน้อยกว่า สำหรับบีเวณที่ 2 การถ่ายเทความร้อนจากการตอกกระบทต่อพื้นที่มีค่าต่ำอย่างกว่า สำหรับบีเวณที่ 3 ที่ค่า $d/D_d = 0.2$ มีค่าต่ำสุด และมีค่าเพิ่มขึ้นเมื่อค่า d/D_d ลดลง ทั้งนี้สามารถอธิบายได้



รูปที่ 10 ค่าน้ำสเซลลั่นเบอร์นี่ลี่ที่และสนา�การไหล
ที่ค่า $Re = 1200$, $d/D_d = 0.1$, $D_j/D_d = 0.5$

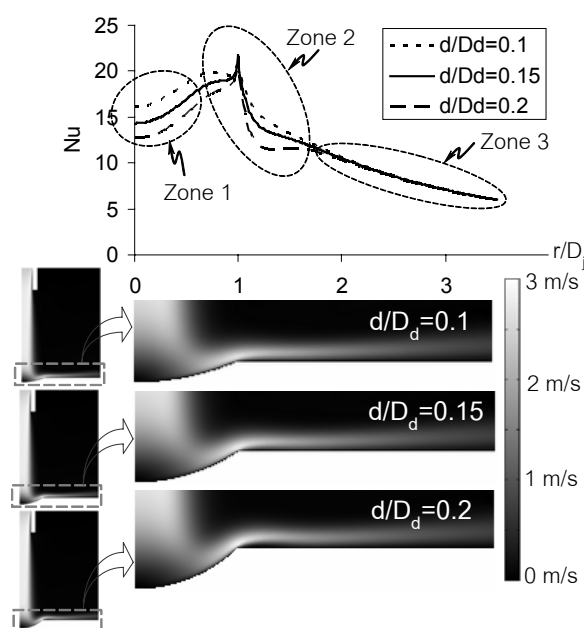


รูปที่ 11 ค่าน์เซลนัมเบอร์เฉลี่ย ที่ค่า $d/D_d = 0.1$, $D_j/D_d = 0.5$ จากการที่เจ็ตกระทบลงบนแผ่นรอยบุ่มที่เล็กกว่า จะถูกผลักให้ออกจากรอยบุ่ม ซึ่งมีความโด้ง (Curvature) สูงกว่า ส่งผลให้เกิดการยกตัวของสนามการไหลที่สูงกว่า เป็นเหตุให้เจ็ตถ่ายเทไม่แน่นัดให้กับอากาศแวดล้อมมากกว่าถ่ายเทให้กับแผ่นเป้าหมาย สำหรับบริเวณที่ 3 การถ่ายเทความร้อนจะมีค่าใกล้เคียงกัน เนื่องจากสนามการไหลของทุกค่าของ d/D_d ในหลังแนวไปกับพื้นผิวเหมือนกัน และความเร็วมีค่าใกล้เคียงกัน สำหรับการถ่ายเทความร้อนของแผ่นเป้าหมายเฉลี่ย ในรูปของค่าน์เซลนัมเบอร์เฉลี่ยมีค่าลดลงเมื่อค่า d/D_d มีค่าเพิ่มขึ้น โดยมีค่า 12.4660, 11.9389 และ 11.1354 สำหรับค่า $d/D_d = 0.1, 0.15$ และ 0.2 ตามลำดับ

5.6 ผลกระทบของอัตราส่วนระหว่างเส้นผ่าศูนย์กลางของเจ็ตและเส้นผ่าศูนย์กลางตามภาพพลาญของรอยบุ่ม (D_j/D_d)

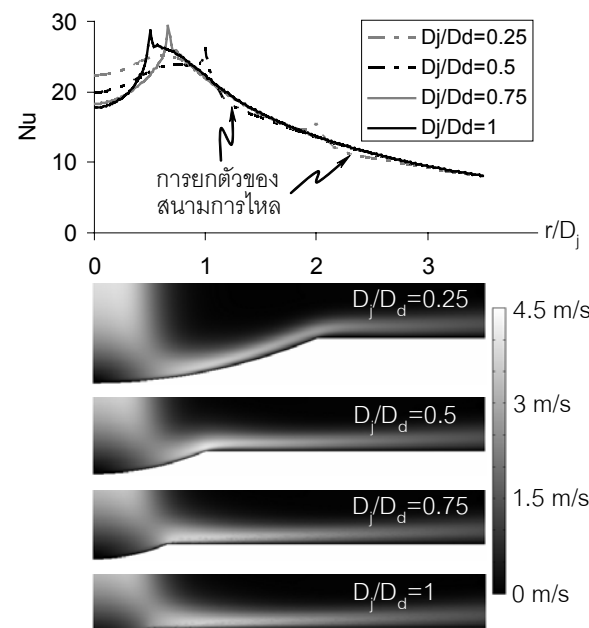
ผลกระทบของค่า D_j/D_d ที่มีต่อการถ่ายเทความร้อน แสดงดังรูปที่ 13 จากรูปสังเกตได้ว่า ลักษณะของการฟalloff ของความร้อนเฉพาะที่สามารถแบ่งออกเป็น 2 ลักษณะ ได้แก่ (1) การตัดกระบทของเจ็ตภายในรอยบุ่ม ซึ่งเกิดขึ้นกับแผ่นรอยบุ่ม $D_j/D_d = 0.25$ และ 0.5 และ (2) การตัดกระบทของเจ็ตครอบคลุมรอยบุ่มทั้งหมด ซึ่งเกิดขึ้นกับแผ่นรอยบุ่ม $D_j/D_d = 0.5$ และ 1

ลักษณะที่ (1) แผ่นรอยบุ่ม $D_j/D_d = 0.25$ ให้การถ่ายเทความร้อนบริเวณตัดกระบทสูงกว่าแผ่นรอยบุ่ม $D_j/D_d = 0.5$ เนื่องจากโมเมนตัมฟลักซ์มีค่าสูงกว่า หลังจากนั้นจะเกิดการยกตัวของสนามการไหลตั้งแต่ตำแหน่งของรอยบุ่ม ส่งผลให้การถ่ายเทความร้อนลดลงอย่างรวดเร็วโดยบริเวณการยกตัวของสนามการไหล การถ่ายเทความร้อนของแผ่นรอยบุ่ม $D_j/D_d = 0.25$ จะลดลงน้อยกว่า เนื่องจากเจ็ตตัดกระบทได้ภายในเป็นเจ็ตผนัง (Wall Jet) ซึ่งมีโมเมนตัมน้อยลง เป็นเหตุให้เกิดการยกตัวน้อยกว่าแผ่นรอยบุ่ม $D_j/D_d = 0.5$

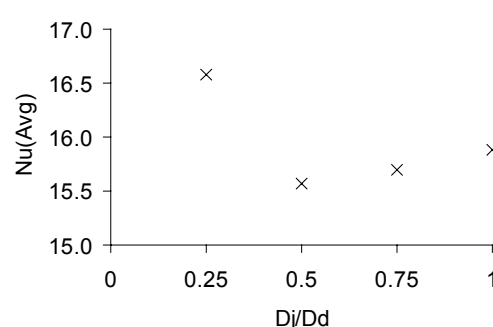


รูปที่ 12 ค่าน์เซลนัมเบอร์เฉพาะที่และสนามการไหล
ที่ค่า $Re = 800$, $H/D_j = 4$, $D_j/D_d = 0.5$

ลักษณะที่ (2) สังเกตได้ว่า แผ่นรอยบุ่ม $D_j/D_d = 0.75$ และ 1 ตำแหน่งของรอยบุ่มอยู่ภายใต้เวเฟจท์กระทบ การถ่ายเทความร้อนในบริเวณตัดกระบทจะลดลงอย่างมาก เมื่อเปลี่ยนเทียบกับลักษณะที่ (1) ทั้งนี้เนื่องจากเจ็ตที่กำลังตกลงมาเมื่อโมเมนตัมสูง ซึ่งเมื่อเจ็ตตัดกระบทครอบคลุมบริเวณรอยบุ่มนั้น ทำให้ความพยากรณ์ในการออกจากรอยบุ่มของเจ็ตเป็นไปอย่างชุนแรงกว่า เป็นเหตุให้เกิดการสูญเสียโมเมนตัมสูงกว่า หลังจากบริเวณตัดกระทบ เจ็ตจะไหลแนวไปกับพื้นผิว ส่งผลให้ไม่เกิดการลดลงอย่างรวดเร็วของการถ่ายเทความร้อน เหมือนลักษณะที่ (1) หรือกล่าวได้ว่า ไม่เกิดการยกตัวของสนามการไหล สำหรับการถ่ายเทความร้อนเฉลี่ย ในรูปของค่าน์เซลนัมเบอร์เฉลี่ย แสดงดังรูปที่ 14 พบว่าแผ่นรอยบุ่ม $D_j/D_d = 0.5$ มีค่าต่ำสุด และจะมีค่าเพิ่มขึ้นเมื่อ D_j/D_d มีค่าเพิ่มขึ้นหรือลดลงจากค่า 0.5 หรือกล่าวได้ว่า การถ่ายเทความร้อนเฉลี่ยจะมีค่าเพิ่มขึ้นเมื่อตำแหน่งของรอยบุ่มอยู่ไกลจากเจ็ตที่ตัดกระบทมากขึ้น



รูปที่ 13 ค่าน์เซลนัมเบอร์เฉพาะที่และสนามการไหล
ที่ค่า $Re = 1200$, $H/D_j = 8$, $d/D_d = 0.1$



รูปที่ 14 ค่าน์เซลนัมเบอร์เฉลี่ย ที่ค่า $Re = 1200$, $H/D_j = 8$, $d/D_d = 0.1$

6. สรุป

จากการศึกษาการถ่ายเทความร้อนของเจ็ทแบบสมมาตรตามแกน 2 มิติผลกระทบพื้นผิวอยู่ใน โดยที่เจ็ทหลังตกรอบบันไดแล้วไหลออกสู่บรรยากาศได้โดยอิสระ ด้วยการประยุกต์ใช้กระบวนการทางไฟฟ้าในตัวเอลิเม้นต์ ในการทดลองเชิงของระบบสมการนาเวีย-สโตกส์แบบอัดตัวไม่ได้กับการจำลองของเจ็ทแบบรานเรียน ที่ค่าตัวเลขเรโนล็ต์ (Re) ในช่วง 400 ถึง 1200 ระยะห่างจากเจ็ทถึงแผ่นเป้าหมาย (H/D_j) ในช่วง 2 ถึง 8 ความลึกของรอยบุ่ม (d/D_d) ในช่วง 0.1 ถึง 0.2 และอัตราส่วนระหว่างเส้นผ่านศูนย์กลางของเจ็ทต่อเส้นผ่านศูนย์กลางตามภาพฉายของรอยบุ่ม (D_j/D_d) ในช่วง 0.25 ถึง 1 และทำการเบรี่ยบเทียบกับการถ่ายเทความร้อนของเจ็ททั่วไปบนพื้นผิวเรียบกับรอยบุ่ม พนวณ การถ่ายเทความร้อนของแผ่นรอยบุ่มมีค่าถี่กว่าแผ่นเรียบ เนื่องจากแผ่นรอยบุ่มมีพื้นที่สัมผัสเจ็ทที่ตกลงมากกว่า ทำให้ไม่มีน้ำหนักซึ่งกัดกร่อนได้มากกว่า แต่บริเวณของรอยบุ่ม การถ่ายเทความร้อนของแผ่นรอยบุ่มมีค่าถูกกว่าแผ่นเรียบ เนื่องจากมีความเร็วสูงกว่าจากความพยายามในการไหลในบริเวณใกล้ๆ กับขอบรอยบุ่ม การถ่ายเทความร้อนลดลงอย่างรวดเร็ว เนื่องจากการยกตัวของสนามการไหลส่งผลให้เกิดการไหลย้อนกลับ ที่เป็นเหตุให้เกิดการแยกตัวของชั้นของเขตการไหล นอกเหนือจากนั้นของไหลยังสูญเสียโมเมนตัมให้กับอากาศแวดล้อม แทนที่จะสามารถถ่ายเทโมเมนตัมกับแผ่นเป้าหมายได้โดยตรงเหมือนกับกรณีของแผ่นเรียบ หลังบริเวณที่เกิดยกตัวของสนามการไหล การถ่ายเทความร้อนที่เกิดจากการตกรอบบันไดเรย์บันท์มีค่าใกล้เคียงกับแผ่นเรียบ เนื่องจากสนามการไหลใหม่แบบไปกับพื้นผิวเหมือนกัน และความเร็วมีค่าใกล้เคียงกัน

ในการศึกษาความสามารถสรุปผลกระบวนการของตัวแปรต่างๆ ดังที่กล่าวข้างต้นได้ดังต่อไปนี้

1. เมื่อตัวเลขเรโนล็ต์ (Re) เพิ่มขึ้น การถ่ายเทความร้อนมีค่าเพิ่มขึ้น เนื่องจากโมเมนตัมของเจ็ทมีค่าเพิ่มขึ้น

2. ระยะห่างจากเจ็ทถึงแผ่นเป้าหมาย (H/D_j) มีผลกระทบน้อยมากต่อการถ่ายเทความร้อน เนื่องจากการถ่ายเทโมเมนตัมของเจ็ทที่กำลังตกลงมา กับอากาศแวดล้อมมีค่าน้อย ส่งผลให้โมเมนตัมพลักซ์บริเวณตกรอบบันไดไม่แตกต่างกัน

3. เมื่อความลึกของรอยบุ่ม (d/D_d) เพิ่มขึ้น การถ่ายเทความร้อนมีค่าลดลง เนื่องจากเมื่อรอยบุ่มมีความลึกมากขึ้น พื้นที่สัมผัสกับของไหลมากขึ้นตาม ดังนั้นโมเมนตัมต่อพื้นที่บริเวณตกรอบบันไดมีค่าลดลง นอกเหนือความลึกที่มากขึ้นหมายถึงความถ่องที่มากขึ้น ซึ่งเป็นสาเหตุให้สนามการไหลที่ออกจากขอบรอยบุ่มมีการยกตัวสูงขึ้น และเกิดการไหลย้อนกลับ

4. อัตราส่วนระหว่างเส้นผ่านศูนย์กลางของเจ็ทต่อเส้นผ่านศูนย์กลางตามภาพฉายของรอยบุ่ม (D_j/D_d) ผลการถ่ายเทความร้อนขึ้นอยู่กับตำแหน่งของขอบรอยบุ่ม โดยการถ่ายเทความร้อนจะมีค่าเพิ่มขึ้น เมื่อตำแหน่งของขอบรอยบุ่มอยู่ใกล้จากเจ็ทที่ตกรอบบันไดมากขึ้น

7. เอกสารอ้างอิง

- [1] Gardon, R., Akfirat, J.C., 1965, The role of turbulence in determining the heat transfer characteristics of impinging jets, Int J Heat and Mass Transfer, Vol. 8, pp.1261-1272.
- [2] Obot, N.T., Trabold, T.A., 1987, Impingement heat transfer within arrays of circular jets: Part 1: effects of minimum, intermediate and complete crossflow for small and large spacings, J Heat Transfer, Vol. 109, Nov 1987 pp.872-879.
- [3] Bearman, P.W., Harvey, J.K., 1993, Control of circular cylinder flow by the use of dimples, AIAA Journal, Vol. 31, No. 10, pp.1753-1756.
- [4] Kesarev, V.S., Kozlov, A.P., 1993, Convection Heat transfer in turbulized flow past a hemispherical cavity, Heat Transfer Research, Vol. 25, No. 2, pp.156-160.
- [5] Bunker, R.S., Gotovskii, M., Belen'kiy, M., Fokin, B., 2003, Heat transfer and pressure loss for flows inside converging and diverging channels with surface concavity shape effects, Proceedings of the 4th International Conference Compact Heat Exchangers and Enhancement Technology, Sep.29-Oct.3, Crete Island, Greece.
- [6] Chyu, M.K., Yu, Y., Ding, H., Down, J.P., Soechting, F.O., 1997, Concavity enhanced heat transfer in an internal cooling passage, ASME Paper, 97-GT-437.
- [7] Kanokjaruvijit, K., Martinez-Botas, R.F., 2005, Jet impingement on a dimpled surface with different crossflow schemes, Int J Heat and Mass Transfer, Vol. 48, pp.161-170.
- [8] Kanokjaruvijit, K., Martinez-Botas, R.F., 2007, Heat transfer and pressure investigation of dimple impingement, J Turbomachinery, July 2007, (In press).
- [9] จักรพันธ์ ภารวงษ์ยิ่งสกุล และ กุลยา กนกจารุวิจิตร, 2549, การศึกษาลักษณะการไหลของเจ็ทแบบสมมาตรตามแกนที่ตกรอบบันไดพื้นผิวอยู่บุ่ม, การประชุมวิชาการเครือข่ายวิศวกรรมเครื่องกลแห่งประเทศไทยครั้งที่ 20, นครราชสีมา
- [10] Chemical Engineering Module User's Guide version COMSOL 3.2, September 2005, COPYRIGHT 1994-2004 by COMSOL AB.
- [11] Chattopadhyay, H., 2004, Numerical investigations of heat transfer from impinging annular jet, Int J Heat and Mass Transfer, Vol.47, pp.3197-3201.
- [12] Angioletti, M., Ruocco, G., 2005, CFD turbulentmodelling of jet impingement and its Validation by particle image velocimetry and mass transfer measurements, International Journal of Thermal Siccences, Vol.44, pp.349-356.